



GIS-Based Land Capability and Suitability Evaluation for Irrigated Agriculture (Case Study: Karaj-Qazvin)

F. Sarmadian^{1*}, S. Teymuri Bardiani², Sh. Rahmani Syalarz³, N. Sayadi⁴

Received: 01-05-2022

Revised: 31-05-2022

Accepted: 28-08-2022

Available Online: 21-11-2022

How to cite this article:

Sarmadian, F., Teymuri Bardiani, S., Rahmani Syalarz, Sh., & Sayadi, N. (2022). GIS-Based Land Capability and Suitability Evaluation for Irrigated Agriculture (Case Study: Karaj-Qazvin). *Journal of Water and Soil* 36(4): 459-475. (In Persian with English abstract)

DOI: [10.22067/JSW.2022.76330.1159](https://doi.org/10.22067/JSW.2022.76330.1159)

Introduction

Farmers and agricultural products face many risks, including adverse weather conditions, pests, diseases, and changes in product prices, laws, and regulations. The first step in managing and minimizing many of these risks is often choosing the right crops for the area under cultivation; Therefore, knowing whether these lands are suitable for a particular crop can determine the success or failure of agricultural strategies. Because farmers are exposed to climate change and the economy, where agricultural frameworks are changing at an unprecedented rate, it is vital for them to be able to adapt to new trends. Increasing the availability of land suitability information for agricultural products will be a valuable aid for farmers and managers in this field to develop new agricultural strategies. At the same time, the growth of computational capabilities and increased access to geographic data has made land suitability assessment faster and easier.

Materials and Methods

The study area is located in Abik city, a city located in Qazvin province of Iran, between 50 degrees and 40 minutes to 50 degrees and 41 minutes east longitude and 35 degrees and 52 minutes to 36 degrees and 21 minutes north latitude. The average annual soil temperature at depth of less than 50 cm is 15.8 °C and has thermal heating regime. Furthermore, according to the average rainfall of the region, 222.7 mm, the humidity regime of the region is of Eridic type. Moisture and heat regimes were obtained by Newhall software. According to regional conditions and the size of the area, 60 profiles were drilled for network description and sampling. Field studies including determination, drilling, description of profiles, slope percentage, etc. were determined at the site. Information on soil physical and chemical properties were tested. Parametric, American (USDA) and LSP methods were used to evaluate the land. Necessary climatic characteristics for annual plants include the climatic variables that are necessary to determine the growing season, planting date and type of cultivar. The information of Buin Zahra synoptic station has been used. In this study, CROPWAT software was used to calculate the potential evapotranspiration. Land information such as slope, drainage Condition and flood absorption, as mentioned in the profile description card, was used to assess land suitability. Growth period was also obtained for the region using the area agronomical calendar. To calculate potential of production, the model AEZ which is provided by FAO, is used in this research.

Results and Discussion

The decrease in the suitability of the studied lands for the wheat crop is due to the salinity and sodium content of the lands and the presence of surface gravel and shallow soil depth. According to the provided tables and maps, 18% of the study area is unacceptable, 12.5% is average, 12.5% is good, 25% is very good, or very good and

1- Professor, Soil Science Department, College of Agriculture, University of Tehran, Karaj, Iran

(*- Corresponding Author Email: fsarmad@ut.ac.ir)

2- Masters Student, Soil Science Department, College of Agriculture, University of Tehran, Karaj, Iran

3- Masters Student, Soil Science Department, College of Agriculture, University of Tehran, Karaj, Iran

4- Graduated with a Master's Degree in Soil Science, Soil Science Department, College of Agriculture, University of Tehran, Karaj, Iran

31.25% of the total study area are in the excellent fitness class. The above values have been obtained by considering the rangeland and saline sections as well as the type of product in preparing the fit map. The accuracy of the preferred rational scoring method in land suitability is higher than the parametric method because in this method the land suitability maps of the area are obtained by logical collectors and the output map is the result of all parameters and constraints that the area may have. To have the desired. In the parametric method, this problem is summarized in soil properties and climatic conditions. Due to the lack of direct measurement of product performance, more accurate comparisons were not possible.

Conclusion

Most of the restrictions were in shallow hilly areas with shallow soils and pebbles, and salinity, alkalinity and gypsum did not impose any restrictions in these areas. Traffic in these areas was difficult and they were mostly in the S3 class by the parametric method and the poor and unacceptable class in the LSP. In land evaluation using LSP method, understanding the relationships of criteria with each other and the amount of impact that each has on the potential of land for different uses is essential. The LSP method is sensitive yet flexible, and may not work well if the data accuracy and number of parameters are low. The application of GIS-based LSP method showed a suitable tool to create accurate, flexible and rationally justifiable criteria in assessing the capability and suitability of land in agriculture. In such studies, by using the Bayer LSP method, prerequisites such as precisely defining the goals of users, managers and agricultural expertise should be considered. This method is a multi-criteria evaluation method that has been improved for measurement among decision makers, land management and other specialties.

Keywords: FAO, Land suitability and capability, LSP method, Parametric method

مقاله پژوهشی

جلد ۳۶، شماره ۴، مهر-آبان ۱۴۰۱، ص. ۴۷۵-۴۵۹

مقایسه روش‌های پارامتریک و روش امتیازدهی منطقی ترجیحی (LSP) در ارزیابی قابلیت و تناسب اراضی برای زراعت‌های آبی در منطقه آبیگ قزوین

فریدون سرمیدان^{۱*} - سجاد تیموری بردیانی^۲ - شهلا رحمانی سیالرز^۳ - نیلوفر صیادی^۴

تاریخ دریافت: ۱۴۰۱/۰۲/۱۱

تاریخ پذیرش: ۱۴۰۱/۰۶/۰۶

چکیده

کشاورزان و محصولات کشاورزی با خطرات زیادی از جمله آب‌وهوای نامساعد، آفات، بیماری‌ها و تغییر در قیمت محصولات، قوانین و مقررات مواجه هستند. اولین قدم در مدیریت و به حداقل رساندن بسیاری از این خطرات اغلب انتخاب محصولات مناسب برای مناطق زیر کشت است؛ بنابراین، دانستن اینکه آیا این اراضی برای یک محصول خاص مناسب است یا خیر، می‌تواند موفقیت یا شکست استراتژی‌های کشاورزی را تعیین کند. ارزیابی چندمعیاره (MCE) یکی از روش‌های آنالیز مکانی است که می‌تواند به ارزیابی اراضی کمک کند. هدف از این مطالعه بسط دادن روش‌های استاندارد MCE بر پایه GIS، با استفاده روش امتیازدهی منطقی ترجیحی (LSP) برای ارزیابی اراضی است تا در کنار برسی معیارهای متعدد برای ارزیابی اراضی و انطباق آنها، از تلفیق خصوصیات شیمیایی و فیزیکی با مسائل اجتماعی و اقتصادی بتوان به یک ارزیابی اراضی کامل‌تر دست یافت. در این تحقیق، به دو روش پارامتریک و امتیازدهی منطقی ترجیحی ارزیابی اراضی انجام شد. منطقه مورد مطالعه در محدوده کرج-قزوین، شهرستان آبیگ قرار گرفته است. در منطقه ۶۰ خاک رخ حفر، نمونه‌برداری شد و آزمایش‌های مربوطه انجام شد. برسی درجه تناسب اراضی برای کشاورزی به طوری که علاوه بر خصوصیات خاک و اراضی، مسائل اقتصادی و اجتماعی و زیست‌محیطی هم مطرح باشد، برای این منطقه انجام شد. نقشه‌های تناسب اراضی برای هر دو روش پارامتریک و LSP تهیه شد. روش LSP با استفاده از تعداد بیشتری از پارامترها، ارزیابی دقیق‌تری را ارائه داد و ۳۱/۲۵ درصد از اراضی برای کشت گندم، جو، ذرت دارای تناسب عالی بودند. بر اساس روش پارامتریک برای گندم ۲۸٪، برای جو ۳۶٪ و برای ذرت ۲۰٪ از اراضی برای کشاورزی مناسب بودند.

واژه‌های کلیدی: تناسب و قابلیت اراضی، روش پارامتریک، روش LSP، FAO

مقدمه

در مدیریت و به حداقل رساندن بسیاری از این خطرات اغلب انتخاب محصولات مناسب برای مناطق زیر کشت است؛ بنابراین، دانستن اینکه آیا این اراضی برای یک محصول خاص مناسب است یا خیر، می‌تواند موفقیت یا شکست استراتژی‌های کشاورزی را تعیین کند.

کشاورزان و محصولات کشاورزی با خطرات زیادی از جمله آب‌وهوای نامساعد، آفات، بیماری‌ها و تغییر در قیمت محصولات، قوانین و مقررات مواجه هستند (Mulder et al., 2019). اولین قدم

۱- استاد، گروه علوم و مهندسی خاک، دانشکده کشاورزی و منابع طبیعی، دانشگاه تهران، کرج، ایران
* نویسنده مسئول: (Email: fsarmad@ut.ac.ir)

۲- دانشجوی کارشناسی ارشد، گروه علوم و مهندسی خاک، دانشکده کشاورزی و منابع طبیعی، دانشگاه تهران، کرج، ایران

۳- دانشجوی کارشناسی ارشد، گروه علوم و مهندسی خاک، دانشکده کشاورزی و منابع طبیعی، دانشگاه تهران، کرج، ایران

۴- دانش‌آموخته کارشناسی ارشد، گروه علوم و مهندسی خاک، دانشکده کشاورزی و منابع طبیعی، دانشگاه تهران، کرج، ایران

مورد مطالعه، مقادیر صحت عمومی از سطح کلاس به زیر کلاس تناسب به طور چشمگیری کاهش می‌یابد. اجزای سرزمین و شاخص‌های سنجش‌ازدور شاخص گیاهی عمودی (PVI)^۴ و شاخص گیاهی تفاضلی نرمال شده (NDVI)^۵، مهم‌ترین پارامترهای محیطی برای پیش‌بینی کلاس و زیر کلاس تناسب کیفی و کلاس تناسب کمی اراضی هستند (Mosleh et al., 2017). روش LSP بر پایه GIS در ارائه یک گردش کاری انعطاف‌پذیر و حساس برای ایجاد نتایج واقعی و قابل‌توجهی از معیارهای پیچیده که با اهداف و الزامات ذی‌نفعان محدود می‌شود، مؤثر است (Shen et al., 2021). معیارهای محاسباتی LSP را می‌توان در یک سیستم GIS برای پردازش داده‌هایی که نشان‌دهنده مکان‌های مطالعه واقعی هستند ادغام کرد (Dragičević et al., 2018). مطالعات حاضر نمی‌توانند صحت نقشه مناسب را تأیید کند؛ زیرا تنها از یک رویکرد، یعنی رویکرد محاسبات نرم مبتنی بر GIS استفاده می‌کنند. دو یا چند روش چندمعیاره را می‌توان برای کاهش اثر خطاهای این روش به کاربرد (Lennox, 2015).

امتیازدهی منطقی اولویت (LSP) یک روش کلی تصمیم‌گیری چندمعیاره است که ریشه در محاسبات ریاضی و استدلال فازی دارد. این روش تجمیع غیرخطی تعداد زیادی از معیارهای ورودی را بدون کاهش ارزش داده‌ها برای روش‌های MCE مبتنی بر GIS فراهم می‌کند (Hatch et al., 2014). این روش در اوایل دهه ۱۹۷۰ میلادی برای اولین بار به‌عنوان یک روش ارزیابی چندمعیاره به‌منظور ارزیابی سیستم‌های کامپیوتری استفاده و مطرح شد (Dujmović, 1979). با توجه به قابلیت‌های این روش محققان آمایش سرزمین از روش LSP برای ارزیابی مناطق شهری و کشاورزی استفاده کردند. به‌عنوان مثال مونتگومری در سال ۲۰۱۶ روش LSP را در ارزیابی کشاورزی انجام داد و به این نتیجه رسید که این روش نسبت به ۶ روش ارزیابی چندمعیاره مانند OWA^۶ و ... و با توجه به مقادیر AUC^۷ و منحنی ROC^۸ روش بهتری برای ارزیابی اراضی شهری و کشاورزی است و امکان بررسی همه‌جانبه‌تری را فراهم می‌کند (Montgomery et al., 2016b).

ارزیابی تناسب و قابلیت اراضی را برای ایالت کلرادو آمریکا انجام دادند. روش LSP در مقایسه با روش ارزیابی قابلیت USDA که پیش‌تر در ارزیابی منطقه موردنظر به کاررفته بود، تناسب منطقه را حدود ۱۰ درصد افزایش داده است (Montgomery and Dragičević, 2016a). شن و همکاران ۲۰۲۱ نتایج نشان می‌دهد که روش LSP.GIS در ارائه یک گردش کاری انعطاف‌پذیر و حساس

با توجه به تغییرات اقلیمی و افت صاد چارچوب‌های کشاورزی با سرعت بی‌سابقه‌ای تغییر می‌کند، برای آنها حیاتی است که بتوانند با روندهای جدید سازگار شوند (Cheshire and Woods, Lennox, 2015). افزایش در دسترس بودن اطلاعات تناسب اراضی برای محصولات کشاورزی کمک ارز شمندی به کشاورزان و مدیران این حوزه در جهت ابداع استراتژی‌های جدید کشاورزی می‌کند. در عین حال، رشد ابزارهای محاسباتی و افزایش دسترسی به داده‌های جغرافیایی، انجام ارزیابی تناسب اراضی را سریع‌تر و آسان‌تر کرده است (Møller et al., 2021).

سیستم‌های اطلاعات جغرافیایی^۱ امکان برر سی داده‌های مکانی متعدد را فراهم می‌کند (Ahmadi et al., 2021). ادغام سنجش‌ازدور^۲، ابزارها و تکنیک‌های جدید، ایجاد سیستم‌های ترکیبی ارزیابی اراضی با دقت و قابلیت بالا را فراهم می‌سازد (Singha and Swain, 2016). روش امتیازدهی ترجیحی (LSP)^۳ فرصت‌های فراوانی را برای کمی‌سازی اهداف انسانی و روابط منطقی با استفاده از معیارهای ارزیابی قابل توضیح و توجیه ارائه می‌دهد (Shen et al., 2021).

دقت روش‌های ارزیابی تناسب اراضی بستگی به درجه تأثیر خصوصیات اراضی انتخاب شده مؤثر در تولید محصول دارد (Sarmadian et al., 2009). یکی از مزیت‌های روش تصمیم‌گیری چندمعیاره مبتنی بر تحلیل سلسله‌مراتبی این است که پیوستگی اراضی را در کلاس‌های مختلف به‌صورت پیوسته نشان می‌دهد بعلاوه از مزیت‌های دیگر آن این است که به طبیعت اجازه می‌دهد به صورت ذاتی و مبهم با شد و سعی بر آن ندارد که سیستم پیچیده خاک را با داده‌هایی که توسط محققین علوم خاک اندازه‌گیری می‌شود محدود نماید. این روش تعداد بیشتری از ورودی‌های معیار را در بر می‌گیرد، طیف کاملی از تصمیم‌گیری‌های انسانی را نشان می‌دهد و نقشه‌های قابلیت و تناسب زمین کشاورزی واقعی را تولید می‌کند و در نتیجه آن را به ابزاری مؤثر برای برنامه‌ریزی یکپارچه کاربری منطقه‌ای تبدیل می‌کند (Montgomery et al., 2017). همچنین این روش با دخیل نمودن عوامل بیشتر در ارزیابی تناسب اراضی برای محصولات مختلف نقش مهمی را در ارزیابی و تناسب اراضی ایفا می‌کند (El Baroudy, 2016).

روش‌های پارامتریک استوری، ریشه دوم و فائو نتایج معقول‌تری نسبت به روش‌های محدودیت ارائه می‌کنند. وسعت کلاس‌های تناسب اراضی برای هر یک از تیپ‌های بهره‌وری مورد مطالعه بر اساس روش‌های استوری و ریشه دوم، مؤید این مطلب است (Ahmadi et al., 2021). صرف نظر از نوع مدل و محصول

5- Normalized Difference Vegetation Index (NDVI)

6- Ordered Weighted Averaging

7- Area Under the Curve

8- Receiver Operating Characteristic

1- Geographic Information System (GIS)

2- Remote Sensing (RS)

3- Logic Scoring of Preference (LSP)

4- Perpendicular Vegetation Index (PVI)

بارندگی منطقه ۲۲۲۰۷ میلی‌متر رژیم رطوبتی منطقه از نوع اریدیک است. رژیم‌های رطوبتی و حرارتی توسط نرم‌افزار نیوهال به دست آمد. منطقه مورد مطالعه در تراز ارتفاعی ۱۴۱۰ متر از سطح دریا قرار دارد.

مطالعات صحرایی و تجزیه‌های آزمایشگاهی

برای انجام این تحقیق منطقه مطالعاتی واقع در قسمتی از دشت قزوین، شهرستان آبیک، در استان قزوین انتخاب شد و با توجه اینکه قبلاً در این منطقه مطالعات دیگری انجام شده، در محدوده آبیک مساحت حدود ۲۴ هزار هکتار که مورد مطالعه قرار نگرفته بود به همین تعداد ۶۰ خاک رخ که باتوجه به واحدهای فیزیوگرافی و شرایط موجود در منطقه همان‌طور که در شکل ۱ م مشاهده می شود انتخاب شدند. همچنین خاک‌رخ‌ها به روش شبکه‌ای نامنظم انتخاب و حفر شد. مطالعات صحرایی شامل حفر، تشریح خاک‌رخ‌ها، درصد شیب، وضعیت سیل‌گیری، زهکشی، پوشش گیاهی و کاربری اراضی، وضعیت آب زیرزمینی، رنگ و ساختمان خاک، عمق مؤثر خاک، و نمونه‌برداری است.

برای انجام مطالعات آزمایشگاهی ابتدا نمونه‌های خاک تهیه شده، هوا خشک گردید و نهایتاً از الک ۲ میلی‌متری عبور داده شده و ذرات درشت‌تر از ۲ میلی‌متر جداگانه اندازه‌گیری و مورد محاسبه قرار گرفتند. ذرات کوچک‌تر از ۲ میلی‌متر بعد از الک نمودن در ظرف‌های مخصوص جهت انجام آزمایش‌ها نگهداری شدند و سپس آزمایش‌ها فیزیکی و شیمیایی معمول بر روی آنها انجام شد. بافت خاک به روش هیدرومتر، ماده آلی به روش والکلی و بلک و CEC به روش اشباع با استات آمونیوم اندازه‌گیری شد. برای پیش‌بینی ظرفیت تبادل کاتیونی نیاز به استاندارد کردن اعماق خاک است.

مشخصات اقلیم: برای گیاهان یک‌ساله، اطلاعات اقلیمی لازم شامل آن دسته از متغیرهای اقلیمی می‌شوند که جهت تعیین دوره رشد، تاریخ کاشت و نوع رقم ضرورت دارند. در این مورد از اطلاعات (میانگین ۱۶ ساله) ایستگاه سینوپتیک بوئین‌زهر استفاده شده است.

محاسبه تبخیر و تعرق پتانسیل: در این مطالعه از نرم‌افزار CROPWAT 8.0 برای محاسبه میزان تبخیر و تعرق پتانسیل استفاده گردید. همچنین، برای تهیه منحنی طول دوره رشد از اطلاعات بارندگی و تبخیر و تعرق ده روزه استفاده گردید. طول دوره رشد نیز برای منطقه با استفاده از تقویم زراعی منطقه به دست آمد.

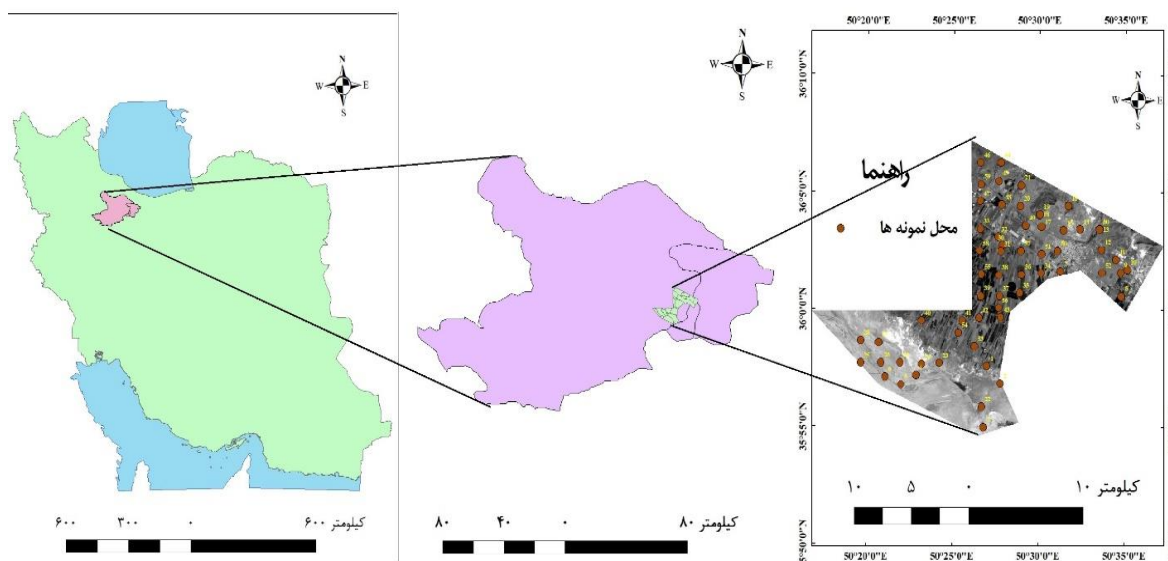
برای محاسبه تولید پتانسیل هر محصول (گندم، جو، ذرت) از مدل فائو که در آن بر اساس پتانسیل زنتیکی محصول و ویژگی‌های گیاهی آن، با استفاده از داده‌های اقلیمی همانند تابش خورشیدی و درجه حرارت، مقدار تولید زیست‌توده^۳ محصول برآورد می‌شود.

برای ایجاد نتایج واقعی و قابل‌توجه از معیارهای پیچیده که با اهداف و الزامات کاربران محدود می‌شود، مؤثر است (Shen et al., 2021). مطالعات انجام شده اصولاً بر پایه خصوصیات فیزیکی، شیمیایی خاک و گیاه بوده؛ اما مسائل اقتصادی و اجتماعی که تأثیر زیادی روی تداوم کشاورزی و تولید محصول مناسب دارند، مورد بحث قرار نگرفته است. از طرفی دیگر روش‌های ارزیابی چندمتغیره بر پایه سیستم‌های اطلاعات جغرافیایی توانایی استفاده از داده‌های بیشتر (به طور مثال بیش از 8 معیار) را ندارند؛ ولی با استفاده از روش LSP می‌توان این نقص را برطرف کرد (Montgomery et al., 2015). رویکرد‌های مبتنی بر MCE^۱ برای تجزیه و تحلیل تناسب اراضی کشاورزی مناسب هستند و LSP به دلیل داشتن رابط کاربرپسند^۲ و انتخاب گسترده گروه‌های تجمیع‌کننده با موفقیت برای مطالعه موردی ارزیابی تناسب تراکم شهری و ارزیابی تناسب اراضی استفاده و آزمایش شده است (Shen et al., 2021).

در این مطالعه هدف، پیاده‌سازی روش LSP مبتنی بر GIS به‌عنوان یک روش بهبودیافته و جدید برای تصمیم‌گیری چندمعیاره به‌منظور ارزیابی بخشی از اراضی شهرستان آبیک واقع در استان قزوین و مقایسه آن با روش پارامتریک (روش ریشه دوم) است. در ادامه به تهیه نقشه‌های تناسب اراضی منطقه مورد مطالعه برای هر کاربری مشخص پرداخته و سپس نحوه مدیریت اراضی به شکلی که در عین سودمندی، منابع موجود در اراضی حفظ شده و از نظر زیست‌محیطی تأثیرات سوء نداشته باشد، بررسی شد.

مواد و روش‌ها

محدوده مورد مطالعه در شهرستان آبیک یکی از شهرستان‌های استان قزوین بین ۵۰ درجه و ۴۰ دقیقه تا ۵۰ درجه و ۴۱ دقیقه طول شرقی و ۳۵ درجه و ۵۲ دقیقه تا ۳۶ درجه و ۲۱ دقیقه عرض شمالی واقع شده است. منطقه مورد مطالعه جزء مناطق نیمه‌خشک بوده و دارای رژیم حرارتی ترمیک، رژیم رطوبتی خاک زر یک خشک و اریدیک ضعیف و ندرتاً دارای رژیم‌های رطوبتی اکوتیک است. بر اساس نقشه هم‌بارش استان، میانگین بارش سالانه در سطح استان از ۲۱۰ میلی‌متر در بخش‌های شرقی تا بیش از ۵۵۰ میلی‌متر در ارتفاعات شمال شرقی متغیر است و خطوط هم‌بارش کم‌وبیش موازی خطوط تراز هستند. بر اساس میانگین دمای سالیانه مورد مطالعه ۱۴/۸ درجه سانتی‌گراد (بر اساس داده‌های سازمان آب‌وهوا شناسی کشور) و افزودن یک درجه سانتی‌گراد به آن، میانگین دمای سالیانه خاک در عمق کمتر از ۵۰ سانتی‌متری ۱۵/۸ درجه سانتی‌گراد بوده و دارای رژیم حرارتی ترمیک بوده است. همچنین باتوجه به میانگین



شکل ۱- تصویر منطقه مورد مطالعه و الگوی نمونه برداری
Figure 1- Image of the study area and sampling points

روش ریشه دوم: در این شاخص اراضی بر اساس معادله زیر محاسبه می شود:

$$I = R_{\min} \sqrt{\frac{A}{100} \times \frac{B}{100} \times \frac{C}{100} \times \dots} \quad (1)$$

که در این روش I: شاخص اراضی، Rmin: حداقل درجه به دست آمده در بین خصوصیات مختلف اراضی و اقلیمی و حروف A، B، C و ... بیانگر سایر خصوصیات مختلف اراضی و اقلیمی است (Storie and Earl, 1976).

روش امتیازدهی ترجیحی منطقی (LSP)

یک روش ارزیابی چندمعیاره است. این روش سه مرحله اصلی دارد: (۱) تعیین درخت ویژگی ها، (۲) تعیین امتیازها، (۳) ساختار تجمعی LSP^۴.

درخت ویژگی: بیانگر خصوصیات اراضی و منطقه است که به صورت درختی تقسیم بندی و تنظیم شده است که تمام ویژگی های مورد نیاز در ارزیابی را در این ساختار تعیین می کنیم. به طور مثال شیب یک پارامتر اجباری در گروه توپوگرافی است، به این دلیل که در صورت شیب زیاد در منطقه، عملیات کشاورزی، تحت تأثیر قرار گرفته و مناسب برای کشاورزی نیست؛ در نتیجه تناسب کلی برای این گروه اگر زیرگروه دیگری موجود بود صفر خواهد شد. (Montgomery et

سیکل رشد هریک از محصولات گندم، جو، ذرت بر اساس تقویم زراعی منطقه به دست آمد. برای محاسبه تولید پتانسیل، از مدل که پهنه بندی اکولوژیکی کشاورزی (AEZ)^۱ توسط فائو ارائه شده است، در این تحقیق استفاده شده است.

مشخصات خاک و زمین نما: بعضی اطلاعات مربوط به اراضی از قبیل شیب، وضعیت زهکشی و محدودیت سیل گیری که در کارت تشریح خاک رخ ثبت شد وجود دارند و در ارزیابی تناسب اراضی به کار گرفته شده. در شرایط خاص سایر اطلاعات را که در کارت تشریح خاک رخ برای هر افق خاک گزارش می شود، لازم است برای عمق معینی بر اساس ضرایب وزنی به دست آورد. نظر به اینکه با افزایش عمق خاک، اهمیت خواص خاک برای رشد گیاه کاهش می یابد، در محاسبه مذکور، از ضرایب وزنی قسمت های مختلف خاک رخ استفاده می گردد. نقشه مدل رقمی ارتفاع منطقه از سایت (alaska) بادقت ۱۲/۵ متر دریافت شد و با استفاده از نرم افزار ArcGIS 10.3 نقشه های مورد نیاز از آن تهیه گردید.

باتوجه به شرایط و مشخصات اراضی مورد مطالعه و با در نظر گرفتن نیازهای انواع کاربری، کلاس تناسب اراضی برای آن نوع کاربری تعیین می شود. برای مشخص کردن کلاس اراضی، روش های محدودیت ساده یا حداکثر، روش پارامتریک وجود دارند که در این مطالعه تنها روش پارامتریک (روش ریشه دوم) استفاده شد.

3- Definition of attribute criteria
4- LSP aggregation structure

1- Agro Ecological Zoning (AEZ)
2- Developing Attribute Tree

– اگر رشد کامل و رضایت بخش گیاه (عملکرد ۱۰۰٪ یا ارزش ۱) را برای دما ۱۹ درجه سانتی‌گراد و دمای بالاتر از ۳۵ درجه هم نامطلوب در نظر بگیریم، در صورتی که دما کمتر یا بیشتر از ۱۹ درجه سانتی‌گراد باشد، درجه رضایت‌مندی یا تناسب دما کمتر از بیشترین ارزش یعنی ۱ خواهد شد و نهایتاً از تناسب کل گروه اقلیم هم کم می‌شود. به همین ترتیب، دمای صفر هم رضایت‌مندی یا تناسب صفر خواهد داشت و از آن جا که پارامتری اجباری است تناسب کل گروه اقلیم صفر خواهد شد. در نتیجه در دامنه دمای $0 \leq t \leq 19$ ساده‌ترین راه برای تعریف درجه رضایت‌مندی x تابع خطی زیر است (Montgomery et al., 2017):

al., 2017). در جدول ۱ تقسیم‌بندی‌های موجود برای هر سطح آورده شده است که علامت (+) در جدول نشان‌دهنده پارامترهای اجباری است و در این تحقیق تمام پارامترها اجباری در نظر گرفته شده است (Dragičević and Hatch, Hashem and Khiabani, 2015) (2018).

تعیین امتیاز معیارها: هر ویژگی ورودی به صورت جداگانه‌ای با استفاده از حدود معیار برای آن ویژگی ارزیابی می‌شود. حدود معیار هر ویژگی نشان‌دهنده میزان رضایت‌بخشی یا تناسب ویژگی موردنظر است. برای مثال، دوجومویج و همکاران، در طی تحقیقی در سال ۲۰۱۶ به این صورت عمل کردند که دما – اولین ویژگی از گروه اقلیم

جدول ۱- تعیین خصوصیات اراضی (درخت ویژگی)

Table 1- Determining land characteristics (feature tree)

۲. تناسب اراضی 2. Lands suitability	۱. قابلیت اراضی 1. Lands Capability
۱-۲ اقلیم 1-2 Climate ۱-۱-۲ دما (+) / ۲-۱-۲ تنش آبی (+) 2-1-1 Temperature (+) / 2-1-2 Water stress (+)	۱-۱ توپوگرافی 1-1 Topography ۱-۱-۱ شیب (+) 1-1-1 Slope(+)
۲-۲ اقتصادی 2-2 Economic ۲-۲-۱ قیمت محصول (+) / ۲-۲-۲ عملکرد محصول (+) 2-2-1 Product price (+) / 2-2-2 Product performance (+)	۲-۱ خصوصیات خاک 2-1 Soil properties ۱-۲-۱ بافت (+) / ۲-۲-۱ سنگ‌ریزه (+) ۳-۲-۱ آهک (+) 1-2-1 Texture (+) / 1-2-2 gravel (+) / 1-2-3 lime(+)
۳-۲ دسترسی‌ها 3-2 Accessions ۲-۲-۳ دسترسی به جاده‌های اصلی (+) / ۲-۲-۳ دسترسی به جاده‌های فرعی (+) 3-2-1 Access to main roads (+) / 3-2-2 Access to side road (+)	۳-۱ عمق 3-1 Depth ۱-۳-۱ عمق خاک و لایه محدودکننده (+) ۳-۱-۲ آب در دسترس گیاه (+) 1-3-1 Soil depth and limiting layer (+) / 1-3-2 water available to plants(+)
۴-۲ مدیریت 4-2 Management ۱-۴-۲ نوع محصول (+) / ۲-۴-۲ کاربری اراضی (+) 2-4-1 Type of product (+) / 2-4-2 land use (+)	۴-۱ تراکم 4-1 Density ۱-۴-۱ زهکشی (+) / ۲-۴-۱ جرم مخصوص ظاهری (+) ذخیره کردن ترجمه 1-4-1 Drainage (+) / 1-4-2 bulk density (+)
۵-۲ قابلیت اراضی 5-2 Capability lands ۱-۵-۲ شیب (+) / ۲-۵-۲ بافت (+) / ۳-۵-۲ سنگ‌ریزه (+) / ۴-۵-۲ آهک (+) / ۵-۵-۲ عمق خاک (+) / ۶-۵-۲ آب در دسترس (+) / ۷-۵-۲ زهکشی (+) / ۸-۵-۲ جرم مخصوص ظاهری (+) / ۹-۵-۲ OC (+) / ۱۰-۵-۲ SAR (+) / ۱۱-۵-۲ EC (+) / ۱۲-۵-۲ ظرفیت تبادل کاتیونی (+) / ۱۳-۵-۲ گچ (+) 2-5-1 slope (+) / 2-5-2 texture (+) / 2-5-3 gravel (+) / 2-5-4 lime (+) / 2-5-5 soil depth (+) / 2-5-6 Available water (+) / 2-5-7 Drainage (+) / 2-5-8 bulk density (+) / 2-5-9 OC (+) / 2-5-10 SAR (+) / 2-5-11 EC (+) / 2-5-12 cation exchange capacity (+) / 2-5-13 gypsum (+)	۵-۱ حاصلخیزی خاک 5-1 Soil fertility ۱-۵-۱ OC (+) / ۲-۵-۱ EC (+) / ۳-۵-۱ SAR (+) / ۴-۵-۱ ظرفیت تبادل کاتیونی (+) / ۵-۵-۱ گچ (+) 1-5-1 OC (+) / 1-5-2 EC (+) / 1-5-3 SAR (+) / 1-5-4 CAC (+) / 1-5-5 Gypsum (+))

جدول ۲- معیارهای ارزیابی قابلیت اراضی

Table 2- Land Capability standards

طبقه (Class)	وزن					وزن Weight (percentage)
	1	2	3	4	5	
شیب Slope (percentage)	<5	5-8	8-15	15-30	>30	30
جهت شیب Slope direction	شمالی Northern	جنوبی South	شرقی Eastern	جنوبی South	-	6
عمق خاک Soil depth (cm)	>75	75-50	50-25	10-25	<10	25
مقدار رس Clay (percentage)	20-30	30-40	0-20	>40	-	20
ماده آلی Organic matter (percentage)	>5	3-5	1-3	<1	-	15
ارتفاع از سطح دریا Height above sea level (meters)	0-2300	2300-2700	2700-3000	>3000	-	4

برای این ویژگی‌ها تعیین خواهد شد. مرحله بعدی، جمع‌آوری این n ویژگی برای تعیین درجات تناسب کلی برای پارامتر ارزیابی شده، با در نظر گرفتن شرایط و اهداف مورد نظر است. برای اندازه‌گیری و ارزیابی دو ویژگی بهتر است مدلی انتخاب شود که دو پارامتر را هم‌زمان بررسی کند یا مدل هم‌زمانی^۱ استفاده شود که این مدل‌ها می‌توانند *hard* یا *soft* باشند. در روش *hard*، همه ورودی‌ها اجباری هستند و باید با هم بررسی شوند و در صورت صفر بودن یکی از ورودی‌ها، خروجی بدون در نظر گرفتن ارزش بقیه پارامترها صفر خواهد بود؛ در حالی که در هم‌بودی نرم^۲، ورودی‌ها اجباری نیستند و صفر بودن یک ورودی الزاماً به صفر شدن تناسب نمی‌انجامد و صرفاً درجه تناسب را کاهش می‌دهد. در برخی زمینه‌ها باید تمام پارامترها در شرایط مطلوبی باشند، در غیر این صورت اراضی برای کاربرد مورد نظر عملکرد مطلوب را نخواهد داشت؛ لذا، از هم‌بودی سخت^۳ استفاده می‌شود (Montgomery et al., 2017).

مدل‌های هم‌زمانی دارای ۶ جمع‌کننده^۴ بودند که هم‌بودی سخت را مدل‌سازی می‌کنند (C, C+, C++, C-, CA, C+). که از ضعیف‌ترین تا قوی‌ترین هم‌ستگی مرتب شده‌اند. در این تحقیق از مدل C+ به منظور تأثیر بیشتر هم‌بودی استفاده شده است. (Montgomery et al., 2017) در این روش، جمع‌کننده‌هایی که در شکل آمده است را تابع GCD^۵ که با میانگین توان وزنی^۶ اجرا می‌شود می‌گویند (Montgomery et al., 2016b):

$$GCD(X_1, \dots, X_n) = (W_1 X_1^r + \dots + W_n X_n^r)^{1/r} \quad (5)$$

$$x = t/19 \quad (2)$$

و اگر دامنه دما بین $19 \leq t \leq 35$ باشد، درجه رضایت‌مندی از رابطه زیر به دست می‌آید:

$$x = (35-t)/(35-19) \quad (3)$$

از این رو، ساده‌ترین حدود معیار برای هر مقداری از بارندگی را می‌توان به شکل زیر تعریف کرد:

$$x = \max(0, \min(1, t/19), 0, \max), x \in [0, 1] \quad (4)$$

تابع امتیاز معیارها برای هر ویژگی ورودی به صورت جداگانه‌ای با استفاده از حدود معیار برای آن ویژگی ارزیابی می‌شود. حدود معیار هر ویژگی نشان‌دهنده میزان رضایت‌بخشی یا تناسب ویژگی مورد نظر است (Montgomery et al., 2015, Montgomery et al., 2017). به هر ورودی یک تابع فازی عضویت تعلق می‌گیرد که ۰ متعلق به هیچ مجموعه خاصی نیست در حالی که عدد ۱ تناسب کامل را نشان می‌دهد. حدود معیار برای قابلیت اراضی توسط توابع تناسب انتخاب شده است درجات تناسب در جداول ۲ و ۳، همان حدود معیار اولیه هستند. (Montgomery et al., 2015).

برای ارزیابی تناسب اراضی، معیارها برای ویژگی‌های اقلیم، اقتصاد، دسترسی‌ها، مدیریت و قابلیت اراضی بیان شده‌اند. این پنج دسته‌بندی برای نمایش تأثیر عوامل اجتماعی، اقتصادی و زیست‌محیطی در ارزیابی اراضی، انتخاب شدند.

ساختار تجمعی LSP

پس از اعمال معیارهای اولیه، به n ویژگی ورودی، درجات تناسب

4- Aggregator

5- Generalized Conjunction/Disjunction

6- Weighted Power Mean (WPM)

1- Simultaneity

2- Soft Partial Conjunction (SPC)

3- Hard Partial Conjunction (HPC)

جدول ۳- حدود معیارهای ورودی
Table 3- Limits of Input standards

گروه‌بندی Grouping	معیار یا ویژگی (مقدار عددی 1، تناسب 1). مقدار عدد n، تناسب {n Criterion or attribute { (numeric value 1, Suitability 1); (value of number n, Suitability of n)}	واحدها و کدها Codes
اقلیم Climate	معیار دما (Temperature criterion) = {0.0, (19, 1), (35, 0)} تنش آبی (Water stress) = {0.0, (20, 1)}	°C Water Capacity Ratio
اقتصادی Economical	قیمت محصول (Product cost) = {0.1000, (1300, 1)} عملکرد محصول (Crop yeild) = {0, (9, 1)}	Toman Ton/Ha
دسترسی‌ها Access	جاده اصلی (Main road) = {0.0, (100, 1), (200, 1), (2000, 0)} جاده فرعی (Side road) = {0, (25, 0), (700, 1), (1000, 0)}	Meters Meters
مدیریت Management	نوع محصول (Product type) = {0.0, (1, 1), (4, 0), (1, 1)} کاربری اراضی (Land use) = {0.1, (3, 1), (1, 1)}	Wheat (1), Maize (2), Barely (3), others (4) Urban (1), Dry farming (2), irrigated agriculture (3), Range (4), Sailing pasture (5)
	(Slop) شیب = {0.25, (1, 1)}	%
	(Texture) بافت = {0.0, (1, 5)}	L (5), CL (4), SiCL-SiC (3), C (2), SL (1), LS-S (0)
	(Gravel) سنگ‌ریزه = {0.70, (1, 12)}	%
	(lime) آهک = {0.0, (1, 15)}	%
	(depth) عمق = {0.30, (1, 90)}	cm
قابلیت اراضی Land Capability	(Available water) آب در دسترس = {0.7, (1, 15)} (Drainage) زهکشی = {0.0, (1, 3)}	WD-MWD (3), SPD-SWD-SED (2), PD (1), VPD (0)
	(Bulk density) جرم مخصوص ظاهری = {0.0, (1, 1.4), (1.8, 0)}	g/cm ³
	(Organic carbon) کربن آلی = {0.0, (1, 0.8), (0.3, 0)}	%
	SAR = {0.0, (1, 10), (80, 0)}	((mmol c/l) ^ .5)
	EC = {0.0, (1, 16), (1.8, 0)}	(ds/m)
	CEC = {0.0, (1, 5), (24, 1)}	(cmolc ⁺ /Kg)
	(Gypsum) گچ = {0.0, (1, 15), (3, 1)}	%

$$S(X, Y) = \{(1-W_2)[W_1Xr_1 + (1-W_1)Yr_1]r_2/r_1 + W_2Xr_2\}1/r_2 \quad (6)$$

$$r_1 > 0, r_2 < 0 \quad (7)$$

$$Y > 0, S(0, Y) = 0 \quad (8)$$

$$X > 0, S(X, 0) > 0 \quad (9)$$

$$a > 0, S(X, X+a) = X + reward, S(X, X-a) = X - penalty \quad (10)$$

وزن‌ها (W1, W2) و توان‌ها (r1, r2) می‌توانند توسط میانگین امتیاز منفی مطلوب^۳ و میانگین جبران مطلوب^۴ تنظیم شود (Dujmović, 1979).

به‌طور کلی، هر ساختار LSP در این مطالعه، ترکیبی از توابع

در اینجا $GCD(X_1, \dots, X_n)$ نشان‌دهنده تناسب خروجی برای درجات تناسب ورودی X_1, \dots, X_n است. وزن‌های نرمال شده W_1, \dots, W_n ، $0 < W_i < 1$ ، $\sum_{i=1}^n W_i = 1$ ، $i = 1, \dots, n$ اهمیت نسبی ورودی‌های X_1, \dots, X_n را نشان می‌دهد. پارامتر r برای تنظیم درجه همبودی (همزمانی) و جایگزینی^۱ تمام ورودی‌ها استفاده می‌شود. همه ورودی‌ها به همین طریقه در کل ساختار تجمعی، جمع می‌شوند تا جایی که یک مقدار خروجی کل به دست آید. در ترکیب ورودی‌های اجباری و اختیاری، از تابع CPA^۲ استفاده می‌شود (Dujmović and Larsen, 2007). تناسب خروجی S با اجتماع ورودی اجباری X و ورودی اختیاری Y محاسبه می‌شود (Dragičević et al., 2018):

4- Desired Average Reward

1- Replaceability
2- Conjunctive Partial Absorption
3- Desired Average Penalty

تناسب کم، N برای اراضی نامناسب است. نتایج این روش برای سه محصول گندم، جو و ذرت در جدول ۴ آمده است.

کاهش تناسب اراضی مورد مطالعه برای محصول گندم ناشی از شور و سدیمی بودن اراضی و وجود سنگریزه سطحی و عمق کم خاک است. این نتایج توسط موسوی و همکاران، سرمیدان و همکاران نیز تأیید شده است (Sarmadian et al., Mousavi et al., 2017). تعیین تناسب اراضی و پتانسیل تولید گندم در خاک‌های شور دشت سروستان نشان داد که استفاده از روش پارامتریک ریشه دوم مناسب‌تر از سایر روش‌ها بوده است و اختلاف مقدار عملکرد واقعی از مقدار تخمین زده شده حدود ۱۰ درصد است (Tashayo et al., 2020). نتایج به‌دست‌آمده در این تحقیق برای محصول جو آبی توسط محققان دیگر نیز این نتایج را تأیید شده است (Sarmadian, Hashem Vand Khiabani et al., 2015, and Keshavarzi, 2011).

باتوجه به معیارها یا امتیازها، نقشه‌های تناسب هر زیرگروه و سپس گروه مربوطه به روش امتیازدهی ترجیحی تهیه شده است. هم‌زمانی از سطح زیر گروه‌ها تا نقشه نهایی در حال افزایش است. برای تهیه نقشه‌های تناسب و قابلیت اراضی از توابع فازی مربوطه در محیط رستری GIS با استفاده از map algebra در ArcMap GIS استفاده شد. در نهایت نقشه به‌دست‌آمده به ترتیب جدول ۶ به ۷ کلاس طبقه‌بندی این طبقه‌بندی توسط مونتگومری و همکاران برای اراضی مشابه در ایالت کلرادو آمریکا پیشنهاد شد:

نتایج حاصل از تناسب اراضی برای واحدهای جدا شده به روش امتیازدهی منطقی ترجیحی به این صورت است:

مطابق جداول و نقشه‌های ارائه شده، ۱۸ درصد از منطقه مورد مطالعه تناسب غیرقابل قبول یا Unacceptable، ۱۲/۵ درصد دارای تناسب متوسط یا Average، ۱۲/۵ درصد از منطقه دارای تناسب خوب یا Good، ۲۵ درصد از منطقه دارای تناسب خیلی خوب یا Very Good و ۳۱/۲۵ درصد از کل منطقه مطالعاتی در کلاس تناسب عالی یا Excellent قرار دارند. مقادیر فوق، با در نظر گرفتن بخش‌های مرتعی و شوره‌زار و همچنین نوع محصول در تهیه نقشه تناسب به‌دست‌آمده است. بخش‌هایی در شمال و جنوب منطقه دارای کلاس تناسب غیرقابل قبول شده‌اند که در مناطق شمالی دارای شیب بیشتر از ۲۰ درصد و مناطق جنوبی دارای شوری زیادی هستند. در قسمت جنوبی منطقه دسترسی به جاده‌ها مشکل بوده و فاصله زیادی از جاده دارند، از طرفی به علت سطح آب زیرزمینی بالا در فصل‌های

GCD و CPA است تا به طور ریاضی هم‌زمانی، جایگزینی و تجمع نامتقارن^۱ ورودی‌های اجباری و اختیاری نشان دهد. اهمیت معیار هر ورودی در ساختار LSP با وزن‌هایی که در طول عملیات تجمع^۲ استفاده می‌شوند مشخص می‌شود، تأثیر بیشتر پارامترها با مقادیر وزنی بالاتر نشان داده می‌شود.

در این تحقیق اهمیت تمام پارامترها زیاد در نظر گرفته شده؛ لذا فقط از پارامترها اجباری استفاده شده است. مقادیر وزن‌ها در این روش هم از طریق روش‌های سابق ارزیابی تناسب اراضی^۳ (AHP) به‌دست‌آمده است. ساده‌تر است وزن‌ها به صورت درصد بیان شود، در هر جمع‌کننده وزن‌ها نرمال شده و جمع آن‌ها برابر ۱۰۰٪ است. در پردازش داده‌های مکانی و اجرای روش LSP از نرم‌افزار GIS استفاده شده است. توابع فازی همراه با محیط رستری^۴ GIS با استفاده از ابزار map algebra در ArcMap GIS، برای تعمیم نقشه‌های تناسب و قابلیت اجرا شد.

نتایج و بحث

در این تحقیق، به دلیل تحت‌آبیاری در نظر گرفتن اراضی کشاورزی مورد نظر، بارندگی از محاسبات حذف گردید. همچنین دمای منطقه بر اساس میانگین سالانه داده‌های ایستگاه هواشناسی بوئین‌زهر (۱۶ سال) ۱۴/۸۵ درجه سانتی‌گراد است. جهت انجام مطالعات ارزیابی تناسب اراضی، ابتدا با استفاده از کارت تشریح خاک‌ها^۵، منطقه مطالعاتی به ۲۹ واحد اراضی بر اساس فامیل^۶ جدا سازی شد. همان‌طور که در جدول ۴ بیان شد، خاک‌های منطقه مورد مطالعه در سه رده آریدی سول^۷، اینسپتی سول^۸ و انتی سول^۹ قرار گرفتند که در شکل ۲a نشان داده شده است. همچنین تصاویر متعلق به ماهواره Landsat 8 در اکتبر ۲۰۲۰ است.

به‌طور کلی ۳۶ درصد از کل اراضی به صورت شوره‌زار با سطح آب زیرزمینی بالا، مراتع و کاربری نظامی بوده و کاربری کشاورزی ندارند و در جداول تناسب برای آنها عملکردی لحاظ نشده است. اراضی بر اساس ارزیابی قابلیت اراضی به ۶ کلاس تقسیم شدند که ۲۲/۲ درصد در کلاس I، ۱۶/۷ درصد در کلاس II، ۱۱/۱ درصد در کلاس III، ۲۵ درصد در کلاس IV، ۸/۳ درصد در کلاس V، ۱۳/۸ درصد هم در کلاس VI قرار گرفتند.

در این مطالعه ۴ کلاس باتوجه به ساختار مدل فائو، برای تناسب اراضی محصولات در نظر گرفته است که شامل S1 برای اراضی با تناسب بالا، S2 برای اراضی با تناسب متوسط، S3 برای اراضی

- 6- Family
- 7- Aridisols
- 8- Inceptisols
- 9- Entisols

- 1- Asymmetric Aggregation
- 2- Aggregation
- 3- Analytical Hierarchy Process
- 4- Raster GIS environment
- 5- Profil

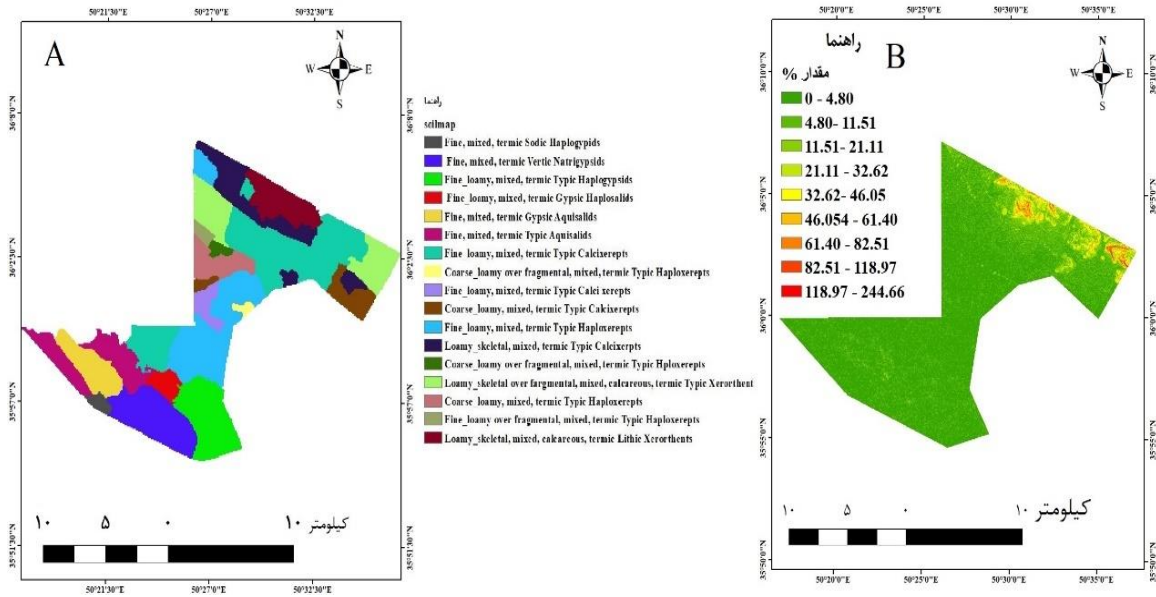
همکاران (Mousavi *et al.*, 2017) تأیید شده است. به‌طور کلی به علت دخالت عوامل اقتصادی و اجتماعی ممکن است تناسب اراضی بعضاً در مواردی کمتر از روش‌های قبلی به دست آید؛ زیرا محدودیت‌های دیگری به جز خصوصیات خاک را نیز در به‌دست‌آوردن تناسب نهایی در نظر می‌گیرند که جدول ۷ نیز بیانگر این امر است.

پرباران عملاً تردد در این مناطق غیرممکن است؛ همچنین میزان گچ، EC و SAR در این منطقه از اراضی به‌شدت زیاد است. در بخش تپه‌ای و شیب‌دار، عمق خاک کم است، درصد سنگ‌ریزه بالایی دارند و در صد آهک بالایی در بخش‌هایی از این مناطق به دست آمده است، از طرفی تردد ماشین‌آلات و دسترسی به جاده هم کمی مشکل است؛ از این رو تناسب کشاورزی در این مناطق به شدت کاهش یافته و بیشتر کاربری مرتع برای آنها مشاهده شده است این نتایج توسط موسوی و

جدول ۴- طبقه‌بندی خاک و واحدهای اراضی

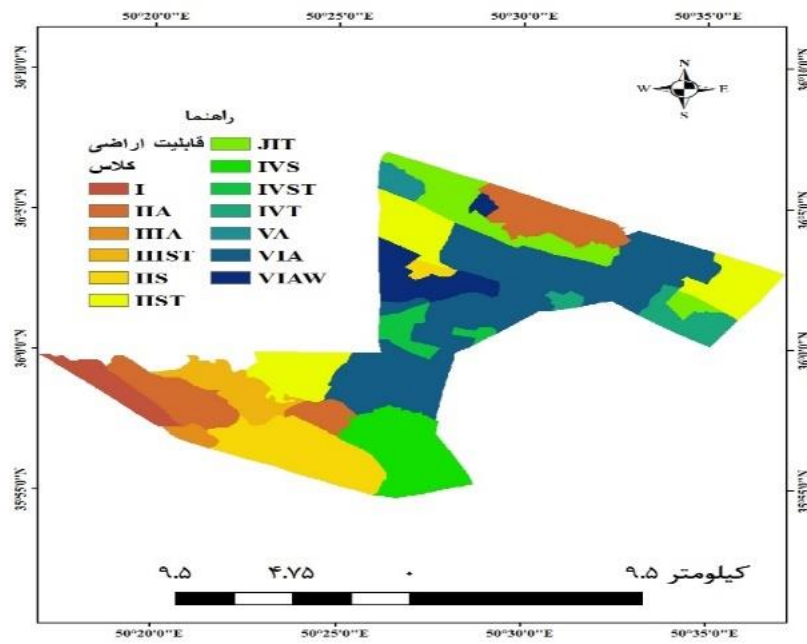
Table 4- Classification of soils and land units

شماره خاک رخ شاهد Witness profile number	رده‌بندی Classification	واحدهای اراضی Land units
6	Fine, mixed, termic Sodic Haplogypsis	1
4	Fine, mixed, termic Vertic Natrigypsis	2
1	Fine loamy, mixed, termic Typic Haploxerepts	3
23	Fine loamy, mixed, termic Gypsic Haplosalids	4
27	Fine, mixed, termic Gypsic Aquisalids	5
24	Fine, mixed, termic Typic Aquisalids	6
25	Fine, mixed, termic Typic Aquisalids	7
40	Fine loamy, mixed, termic Typic Calcixerepts	8
35	Coarse loamy over fragmental, mixed, termic Typic Haploxerepts	9
39	Fine loamy, mixed, termic Typic Calcixerepts	10
55	Coarse loamy, mixed, termic Typic Calcixerepts	11
36	Fine loamy, mixed, termic Typic Haploxerepts	12.1
41	Fine loamy, mixed, termic Typic Haploxerepts	12.2
54	Fine loamy, mixed, termic Typic Haploxerepts	12.3
7	Loamy skeletal, mixed, termic Typic Calcixerepts	13
9	Loamy skeletal, mixed, termic Typic Calcixerepts	14
8	Coarse loamy, mixed, termic Typic Calcixerepts	15.1
52	Coarse loamy, mixed, termic Typic Calcixerepts	15.2
30	Coarse loamy over fragmental, mixed, termic Typic Haploxerepts	16
11	Loamy skeletal over fragmental, mixed, calcareous, termic Typic Xerorthents	17.1
10	Loamy skeletal over fragmental, mixed, calcareous, termic Typic Xerorthents	17.2
31	Coarse loamy, mixed, termic Typic Haploxerepts	18.1
58	Coarse loamy, mixed, termic Typic Haploxerepts	18.2
33	Fine loamy over fragmental, mixed, termic Typic Haploxerepts	19
34	Fine loamy, mixed, termic Typic Calcixerepts	20.1
49	Fine loamy, mixed, termic Typic Calcixerepts	20.2
12	Fine loamy, mixed, termic Typic Calcixerepts	20.3
50	Fine loamy, mixed, termic Typic Calcixerepts	20.4
13	Fine loamy, mixed, termic Typic Calcixerepts	20.5
21	Fine loamy, mixed, termic Typic Calcixerepts	21
48	Loamy skeletal over fragmental, mixed, calcareous, termic Typic Xerorthents	22
16	Loamy skeletal, mixed, calcareous, termic Lithic Xerorthents	23.1
19	Loamy skeletal, mixed, calcareous, termic Lithic Xerorthents	23.2
46	Fine loamy, mixed, termic Typic Haploxerepts	24
45	Loamy skeletal, mixed termic, Typic Calcixerepts	25
60	Fine loamy, mixed, termic Typic Calcixerepts	20.6



شکل ۲- A- طبقه‌بندی شیب منطقه، B- نقشه واحدهای اراضی

Figure 2- A- Slope, B- Land units



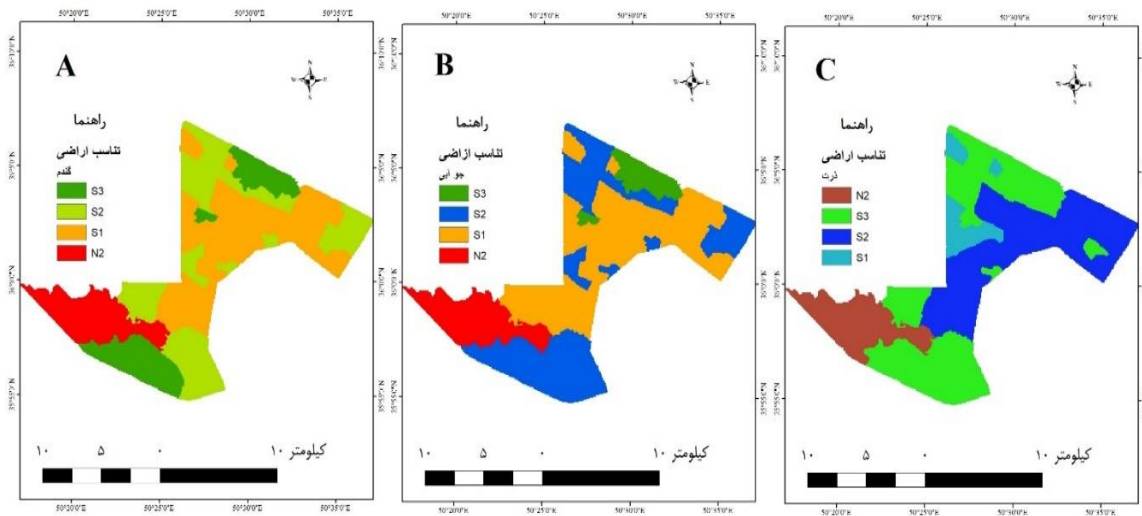
شکل ۴- نقشه ارزیابی قابلیت اراضی برای زراعت آبی

Figure 4- Land Capability Classification for Irrigation Agriculture

جدول ۵- نتایج تناسب ارزیابی اراضی به روش ریشه دوم برای سه محصول گندم، جو و ذرت

Table 5- Results of land suitability assessment by square root method for three crops of wheat, barley and corn

محصول (Product)	جو آبی	گندم آبی پاییزه	ذرت
تناسب اراضی (Land suitability)	irrigated Barely	Irrigated wheat	Corn
□□ (تناسب بالا) High suitability	%36	%32	%20
□□ (تناسب متوسط) Medium suitability	%36	%36	%34
□□ (تناسب کم) Low suitability	%12	%16	%36
□ (نامناسب) Unsuitable	%16	%16	%20



A: گندم B: جو آبی C: ذرت

(A: Wheat, B: Barley, C: Corn)

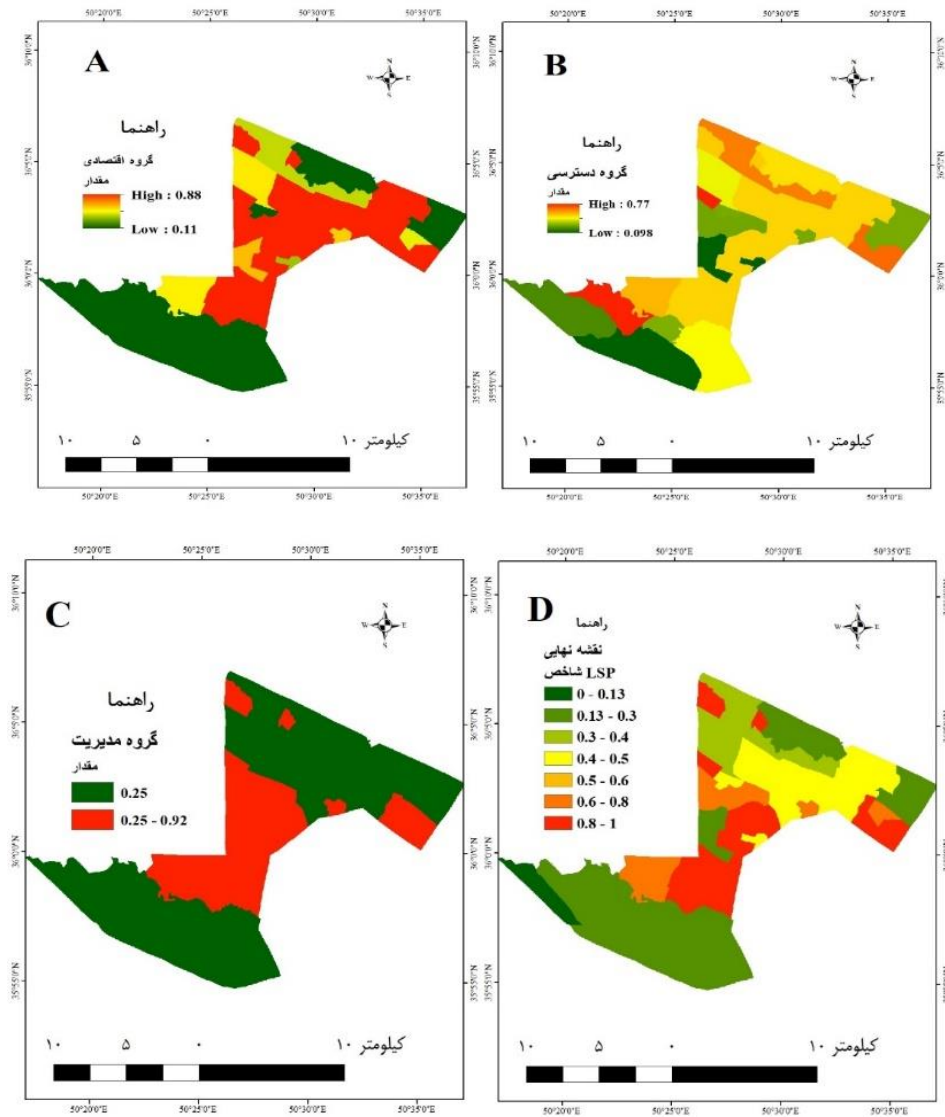
شکل ۳- نقشه نهایی تناسب اراضی به روش ریشه دوم

Figure 3- Final map of land suitability by square root method

جدول ۶- کلاس‌های تناسب اراضی به روش امتیازدهی ترجیحی (Montgomery et al., 2015)

Table 6- Land suitability classes LSP method (Montgomery et al., 2015)

کلاس تناسب اراضی	دامنه تناسب برای اراضی
Class of land suitability	Range of land suitability
تناسب غیرقابل قبول (Unacceptable Suitability)	0-0.13
تناسب خیلی ضعیف (Very Poor Suitability)	0.13-0.3
تناسب ضعیف (Poor Suitability)	0.3-0.4
تناسب متوسط (Average Suitability)	0.4-0.5
تناسب خوب (Good Suitability)	0.5-0.6
تناسب خیلی خوب (Very Good Suitability)	0.6-0.8
تناسب عالی (Excellent Suitability)	0.8-1



شکل ۵- A- نقشه تناسب گروه مسائل اقتصادی B- نقشه تناسب گروه دسترسی C- نقشه تناسب گروه مدیریت D- نقشه نهایی تناسب منطقه به روش LSP

Figure 5- A- Suitability of economic issues B- Suitability of access group C- Suitability of management group D- Final map of area suitability by LSP method

جدول ۷- مقایسه روش USDA و LSP

Table 7- Comparison of LSP and USDA methods

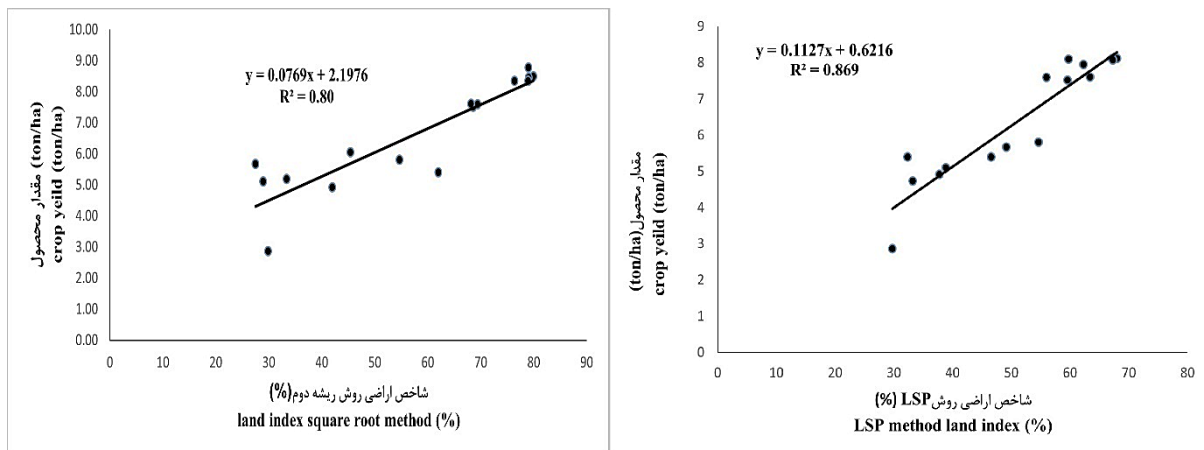
کلاس‌های قابلیت اراضی Land capability classes	ارزیابی قابلیت به روش LSP Capability assessment by LSP method	کلاس‌های قابلیت اراضی Land suitability classes for USDA	ارزیابی قابلیت به روش USDA Capability assessment by USDA method
Excellent	52.7	I	22.2
Very Good	11.8	II	16.7
Good	8.3	III	11.1
Average	-	-	-
Poor	8.3	IV	25
Very Poor	-	V	8.3
Unacceptable	19.4	VI	13.8

مقایسه مقادیر شاخص تنا سب اراضی روش ریشه دوم و ارزش ترجیحی روش LSP با مقادیر واقعی عملکرد محصول ذرت در منطقه مطالعاتی در شکل ۶ نشان داده شده است که برای روش ریشه دوم مقدار R^2 برابر ۰/۸ و RMSE برابر ۰/۷۷ است، برای روش LSP مقدار R^2 برابر ۰/۸۷ و RMSE برابر ۰/۶۳ است.

فهم و درک روابط معیارها با یکدیگر و مقدار تأثیری که هر معیار بر روی قابلیت اراضی برای کاربری‌های مختلف دارد در روش LSP بهتر تبیین شده است. همچنین روش LSP مبتنی بر GIS ابزاری مناسب برای ایجاد معیارهای دقیق، منعطف و منطقی قابل توجیه در ارزیابی قابلیت و تنا سب اراضی نسبت به روش‌های قدیمی در حوزه کشاورزی است. روش LSP قادر است تعداد بسیار بیشتری از معیارهای ورودی را نسبت به روش‌های متداول دیگر مانند روش ریشه دوم در بر بگیرد. باید در نظر داشت که انتخاب وزن‌های مختلف می‌تواند تفاوت‌های قابل توجهی در نقشه‌های خروجی با روش LSP ایجاد کند. روش LSP حساس و درعین حال انعطاف‌پذیر است و در صورتی که دقت داده‌ها و تعداد پارامترها کم باشد ممکن است عملکرد خوبی نداشته باشد، این نتایج توسط مونتگومری و همکاران نیز تأیید شده است (Montgomery et al., 2015) ، Montgomery ، et al., 2017).

دقت روش امتیازدهی منطقی ترجیحی در تنا سب اراضی از روش پارامتریک بی‌شتر است؛ زیرا در روش این نقشه‌های تنا سب اراضی منطقه توسط جمع‌کننده‌های منطقی به دست می‌آیند و نقشه خروجی نتیجه تمام پارامترها و محدودیت‌هایی است که ممکن است منطقه مورد نظر داشته باشد. در روش پارامتریک این مسئله در خصوصیات خاک و شرایط آب‌وهوایی خلاصه می‌شود. این نتایج توسط لوان و همکاران (Luan et al., 2021) و مونتگومری و همکاران (Montgomery et al., 2015) نیز حاصل شد.

اگر بتوان تناسب S1 با تناسب عالی یا Excellent یکی فرض کرد؛ ۲۸ درصد منطقه مطالعاتی در روش پارامتریک برای محصول گندم، ۳۶ درصد آن برای محصول جو و ۲۰ درصد برای محصول ذرت، در حالت تحت آبیاری دارای تناسب بالا است. همه محصولات فوق در روش امتیازدهی منطقی ترجیحی در ۳۱/۲۵ درصد از کل منطقه مورد مطالعه دارای تناسب بالا یا عالی هستند. این مقدار برای ذرت و گندم افزایش داشته؛ ولی برای جو ۵ درصد از اراضی مناسب کاهش یافته است. نوع محصول در نقشه گروه مدیریت اعمال شده و نقشه تناسب هر محصول به طور جداگانه تهیه شد. نقشه گروه مدیریت با پهنه‌بندی کلی جمع شده و در تنا سب نهایی اثر گذاشت. اراضی با تناسب غیرقابل قبول یا N در روش پارامتریک برای گندم، جو، ذرت به ترتیب ۱۶-۲۰-۱۶ درصد به دست آمد. همین تناسب در روش امتیازدهی منطقی ترجیحی برای محصولات مربوطه ۱۸ درصد به دست آمد.



شکل ۶- رابطه بین شاخص اراضی محاسبه شده و مقدار عملکرد واقعی

Figure 6- The relationship between the calculated land index and the actual yield value

نتیجه گیری

کم خاک در کلاس تناسب نامناسب قرار گرفتند. نتایج حاصل از مقایسه عملکرد و اعتبارسنجی با پارامترهای آماری (R^2 , RMSE) محاسبه شده، دو مدل ریشه دوم و LSP برای محصول ذرت در اراضی مورد مطالعه نشان داده که نتایج حاصل از روش LSP نسبت به روش ریشه دوم همبستگی بیشتری با مقدار محصول برداشت شده را نشان می‌دهد.

در این پژوهش بر اساس چهارچوب تناسب اراضی روش ریشه دوم و روش LSP کلاس تناسب اراضی محصولات آبی (ذرت، گندم، جو) تعیین شد. واحدهای فیزیوگرافی دشت دامنه‌ای و فلات با شیب و ارتفاع کم که عمدتاً دارای هدایت الکتریکی بالای هستند در کلاس تناسب بحرانی و واحدهای فیزیوگرافی کوه و تپه با شیب زیاد و عمق

منابع

- Ahmadi, O., Alamdari, P., Servati, M., & Khoshzaman, T. (2021). Investigate the suitability and capability of lands using parametric methods to achieve sustainable development. *Geography and Development Iranian Journal* 18(61): 1-28.
- Cheshire, L., & Woods, M. (2013). Globally engaged farmers as transnational actors: Navigating the landscape of agri-food globalization. *Geoforum* 2013 44: 232-242.
- Dujmović, J.J. (1979). *Partial absorption function*. Publikacije Elektrotehničkog fakulteta. Serija Matematika i fizika, 156-163.
- Dujmovic, J.J., & Larsen, H.L. (2007). Generalized conjunction/disjunction. *International Journal of Approximate Reasoning* 46: 423-446.
- Dujmović, J.J., De Tré, G., & Van de Weghe, N. (2010). LSP suitability maps. *Soft Computing* 14(5): 421-434.
- Dragičević, S., & Hatch, K. (2018). Urban geosimulations with the Logic Scoring of Preference method for agent-based decision-making. *Habitat International* 72: 3-17.
- Dragičević, S., Dujmović, J., & Minardi, R. (2018). Modeling urban land-use suitability with soft computing: the GIS-LSP method. In *GeoComputational analysis and modeling of regional systems* (pp. 257-275). Springer, Cham.
- El Baroudy, A.A. (2016). Mapping and evaluating land suitability using a GIS-based model. *Catena* 140: 96-104.
- Hashem Vand Khianani, P., Sarmadian, F., & Afraz, S. (2015). Investigating the suitability of blue corn products using GIS and AHP in Qazvin plain lands. International conference on Modern Research in Agricultural Science and Environment. Malaysia – Kuala Lumpur.
- Hatch, K., Dragičević, S., & Dujmović, J. (2014). Logic scoring of preference and spatial multicriteria evaluation for urban residential land use analysis. In *International Conference on Geographic Information Science* (pp. 64-80). Springer, Cham.
- Lennox, E. (2015) Double Exposure to Climate Change and Globalization in a Peruvian Highland Community. *Society & Natural Resources* 28: 781-796.
- Luan, C., Liu, R., & Peng, S. (2021). Land-use suitability assessment for urban development using a GIS-based soft computing approach: A case study of Ili Valley, China. *Ecological Indicators* 123: 107333. <https://doi.org/10.1016/j.ecolind.2020.107333>.
- Møller, A.B., Mulder, V.L., Heuvelink, G., Jacobsen, N.M., & Greve, M.H. (2021). Can we use machine learning for agricultural land suitability assessment?. *Agronomy* 11(4): 703.
- Montgomery, B., Dragičević, S., & Dujmović, J. (2015). A soft computing logic method for agricultural land suitability evaluation. In *Proceedings of GeoComputation 2015 Conference*. Dallas, USA (pp. 298-304).
- Montgomery, B., & Dragičević, S. (2016 a). Comparison of GIS - based Logic Scoring of preference and multicriteria evaluation methods: urban land use suitability. *Geographical Analysis* 48(4): 427-447.
- Montgomery, B., Dragičević, S., Dujmović, J., & Schmidt, M. (2016 b). A GIS-based Logic Scoring of Preference method for evaluation of land capability and suitability for agriculture. *Computers and Electronics in Agriculture* 124: 340-353.
- Montgomery, B., Dragičević, S., & Dujmović, J. (2017). Using soft computing logic and the logic scoring of preference method for agricultural land suitability evaluation. In *Advances in Geocomputation* (pp. 217-227). Springer, Cham.
- Mosleh, Z., Salehi, M.H., Jafari, A., Mehnatkesh, A., & Esfandiarpour Borujeni, I. (2017). Assessing the performance of digital mapping approaches for the qualitative land suitability evaluation (a case study: Shahrekord Plain, ChaharmahalVa-Bakhtiari Province). *Journal of Water and Soil* 32(1): 87-99. (In Persian with English abstract)
- Mousavi, S.R., Sarmadian, F., & Taati, A. (2017). Land suitability evaluation for irrigation alfalfa in some Qazvin plain with FAO method and Geographic Information System. 15th Iranian Soil Science Congress, Isfahan, <https://>

- civilica.com/doc/729488
20. Mulder, V.L., van Eck, C.M., Friedlingstein, P., Arrouays, D., & Regnier, P. (2019). Controlling factors for land productivity under extreme climatic events in continental Europe and the Mediterranean Basin. *Catena* 182: 104124. <https://doi.org/10.1016/j.catena.2019.104124>.
 21. Sarmadian, F., Moravvej, K., Mahmoodi, SH., & Ebrahimi-khomami, S.M.R. 2003. An investigation of land suitability evaluation for irrigated crop, using remote sensing and geographical information system techniques in parts of Varamin Plain. *Iranian, Joalur Agriculture Science* 34(4). (In Persian with English abstract)
 22. Sarmadian, F., Keshavarz A., & Asgari, M.S. (2009). *Land suitability assessment for irrigated wheat in Takestan region using fuzzy set theory*, 11th Iranian Soil Science Congress, Gorgan. (In Persian)
 23. Sarmadian, F., & Keshavarzi, A. (2011). Investigating the efficiency of fuzzy set theory in assessing land Suitability for irrigated wheat in Qazvin Province using hierarchical analysis and multivariate regression Process Methods. *Iranian Journal of Soil and Water Research* 42(2): 199-207. (In Persian)
 24. Shen, S., Dragičević, S., & Dujmović, J. (2021). GIS. LSP: A soft computing logic method and tool for geospatial suitability analysis. *Transactions in GIS* 25(3): 1228-1248. <https://doi.org/10.1111/tgis.12768>.
 25. Singha, C., & Swain, K.C. (2016). Land suitability evaluation criteria for agricultural crop selection: A review. *Agriculture Revolution* 37: 125–132.
 26. Storie Earl, R. (1976). *Storie index rating*. Division of agriculture science university of Callifornia special pub. 3203.
 27. Tashayo, B., Honarbakhsh, A., Azma, A., & Akbari, M. (2020). Combined fuzzy AHP–GIS for agricultural land suitability modeling for a watershed in southern Iran. *Environmental Management* 66(3): 364-376.